

УДК 531.9+539.143.44+539.89

© 1991

МАГНИТНЫЕ СВЕРХТОНКИЕ ВЗАИМОДЕЙСТВИЯ И СТРУКТУРНЫЙ ФАЗОВЫЙ ПЕРЕХОД В La_2CuO_4 ПРИ ВЫСОКИХ ДАВЛЕНИЯХ: ^{139}La ЯКР-ИССЛЕДОВАНИЯ

B. A. Бородин, B. D. Дорошев, C. F. Иванов, M. M. Савоста, E. E. Соловьев

Методом ЯКР ^{139}La в диапазоне температур 4.2—295 К исследовано влияние всестороннего сжатия La_2CuO_4 (гидростатические давления до 17 кбар), на величину и направление локального магнитного поля на ядрах ^{139}La , наводимого антиферромагнитно упорядоченными ионами меди. Полученные данные позволили восстановить (P, T) -фазовую диаграмму фазового превращения $Cmca \leftrightarrow I4/mmm$ и оценить скорость уменьшения величины магнитного момента иона меди под давлением.

1. Незамещенное соединение $\text{La}_2\text{CuO}_{4+\delta}$ послужило предметом многочисленных исследований, так как оно является родоначальником класса ВТСП $\text{La}_{2-x}(\text{Sr}, \text{Ba})_x\text{CuO}_4$ и само по себе испытывает сверхпроводящий переход при значении $\delta > 0.03 \div 0.1$. Поскольку высокие давления оказывают очень сильное влияние на T_c этого класса ВТСП, актуально выполнить исследования влияния всестороннего сжатия на кристаллическую структуру и антиферромагнетизм незамещенного La_2CuO_4 с целью обнаружения корреляции этих свойств со сверхпроводимостью ВТСП на основе La_2CuO_4 .

В настоящем сообщении приведены данные, отражающие влияние высоких давлений до 17 кбар на величину и направление локального магнитного поля на ядрах ^{139}La , наводимого в антиферромагнитном La_2CuO_4 электронными магнитными моментами ионов Cu^{2+} . Подобная информация, полученная методом ядерного квадрупольного резонанса ЯКР ^{139}La впервые,¹ позволила восстановить (P, T) -фазовую диаграмму, отражающую структурное фазовое превращение из высокосимметричной тетрагональной фазы $I4/mmm$ в низкосимметричную орторомбическую фазу $Cmca$, а также оценить влияние давления на величину магнитного момента иона меди. Отметим, что $(P-T)$ -фазовая диаграмма La_2CuO_4 исследовалась ранее рентгеноструктурным методом [2-4] и частично нейтронографически [5], однако результаты этих работ плохо согласуются друг с другом и являются высокотемпературными. Известно также единственное нейтронографическое исследование влияния давления на величину магнитного момента иона Cu^{2+} [6]. На наш взгляд, ЯКР-данные, хотя и являются более косвенными, представляют значительный интерес ввиду их независимого характера и высокой точности.

2. Спектр ЯКР ^{139}La ($J=7/2$, $\gamma=601.44$ Гц/Э, $Q=0.21$ барн) в орторомбической фазе $Cmca$, зарегистрированный в нулевом внешнем магнитном поле, состоит из девяти линий $\nu_1 \div \nu_9$ в диапазоне частот 2—20 МГц. Такой сложный спектр образуется в результате взаимодействия квадрупольного момента ядра с градиентом электрического поля (ГЭП), не обладающим аксиальной симметрией, и его магнитного момента с локальным магнитным полем на ядре $\text{H}_{\text{лок}}$ [7-10]. Поле $\text{H}_{\text{лок}}$ вызывает зе-

¹ Описана неудачная попытка [1] исследования влияния высокого давления на статические параметры спектра ЯКР ^{139}La в La_2CuO_4 .

мановское расщепление квадрупольных уровней, в результате чего проходит усложнение² спектра ЯКР, которое служит однозначным доказательством дальнего магнитного порядка в La_2CuO_4 при низких температурах, причем направление $\mathbf{H}_{\text{лок}}$ относительно главной оси ГЭП является структурно-чувствительным параметром, отражающим степень орторомбических искажений исходной тетрагональной структуры $I4/mmm$ [10–12].

Вопросам количественной обработки спектров ЯКР ^{139}La в La_2CuO_4 посвящены работы [7–12]. Наиболее точно значение $\mathbf{H}_{\text{лок}}$ может быть получено в результате численной диагонализации полного ядерного гамильтонiana [8, 10], однако ввиду малости зеемановского члена по сравнению с чисто квадрупольным и малости фактора асимметрии ($\eta \approx 0.01$ [10]) возможна упрощенная, но более наглядная аналитическая обработка спектров [12], которая использовалась и в настоящей работе³

$$\begin{aligned} v_{1,2} &= v_{3/2 \leftrightarrow 1/2} \mp (3/2) \gamma H_{\parallel} - (1/2) \gamma \sqrt{H_{\parallel}^2 + (4H_{\perp})^2}, \\ v_{3,4} &= v_{3/2 \leftrightarrow 1/2} \mp (3/2) \gamma H_{\parallel} + (1/2) \gamma \sqrt{H_{\parallel}^2 + (4H_{\perp})^2}, \\ v_{5,6} &= v_{5/2 \leftrightarrow 3/2} \mp \gamma H_{\parallel}, \\ v_{7,8} &= v_{7/2 \leftrightarrow 5/2} \mp \gamma H_{\parallel}. \end{aligned} \quad (1)$$

Зависимости (1) выведены в первом порядке теории возмущений для аксиально-симметричного ГЭП, причем H_{\parallel} и H_{\perp} — компоненты $\mathbf{H}_{\text{лок}}$ вдоль и перпендикулярно главной оси z тензора ГЭП, а

$$v_{3/2 \leftrightarrow 1/2} = (1/2) v_{5/2 \leftrightarrow 3/2} = (1/3) v_{7/2 \leftrightarrow 5/2} = v_0 = (1/14h) eQV_{zz}. \quad (2)$$

В фазе C_{mca} $\eta \neq 0$, однако по соображениям симметрии (точечная группа узлов $(8f)$, занятых ионами La^{3+} , $m=2$) $\mathbf{H}_{\text{лок}}$ в кристаллографических осях также характеризуется только двумя компонентами, а соотношение (2) точно не выполняется, но может быть модифицировано с учетом рядов [13, 14] по четным степеням η . В таком случае для определения компоненты H_{\parallel} можно использовать линейные комбинации $(v_8 - v_7) \dots (v_2 - v_1)$, а для компоненты H_{\perp} — комбинации $(v_4 - v_2)$ и $(v_3 - v_1)$ совместно с $(v_4 - v_3)$ и $(v_2 - v_1)$.

Следует отметить, что при нормальном давлении для низкотемпературных данных независимо от способа обработки спектров разными исследователями получены практически совпадающие результаты: $\theta = \arctg(H_{\perp}/H_{\parallel}) = 78.3 \div 78.8^\circ$, $H_{\text{лок}} \approx 1000$ Э. Таким образом, угол θ между $\mathbf{H}_{\text{лок}}$ и осью z ГЭП в фазе C_{mca} отличается от значения 90° на весьма большую величину $\sim 11 \div 12^\circ$. Расчеты [10, 12], основанные на точечной модели и учитывающие АФ-структуре La_2CuO_4 типа «шахматная доска», определенную нейтронографически [15] ($\mu_{\text{Cu}} \parallel c$, $a < c < b$), показывают, что это отличие является суммарным результатом отклонения оси z ГЭП от оси b на $7 \div 9^\circ$ и направления $\mathbf{H}_{\text{лок}}$ от оси c на 2° в плоскости bc . В то же время в тетрагональной фазе $I4/mmm$ $\mathbf{H}_{\text{лок}}$ лежит в базисной плоскости и ось z ГЭП направлена точно вдоль тетрагональной оси, так что $\theta = 90^\circ$. Следовательно, параметр $(90^\circ - \theta)$ может служить надежным критерием для детектирования орторомбических искажений La_2CuO_4 методом ЯКР ^{139}La .

3. Регистрация спектров ЯКР выполнена импульсным методом Хана в процессе непрерывной развертки несущей частоты с использованием стробоскопического накопителя. Для повышения точности измерения частот v_{1-8} производились многократная запись спектров и их статистическая обработка на ЭВМ. Измерения выполнены при трех фиксированных температурах: 4.2, 77 и 295 К.

² В отсутствие $\mathbf{H}_{\text{лок}}$ спектр состоял бы из трех линий для переходов $\pm 7/2 \leftrightarrow \pm 5/2$, $\pm 5/2 \leftrightarrow \pm 3/2$; $\pm 3/2 \leftrightarrow \pm 1/2$, поскольку асимметрия ГЭП при полуцелом спине не снимает вырождения уровней.

³ Не выписана частота трудно наблюданной низкочастотной линии (~ 2.4 МГц).

$$v_9 = \gamma \sqrt{H_{\parallel}^2 + (4H_{\perp})^2}.$$

Исследовался поликристаллический образец La_2CuO_4 , деоксидированный в вакууме при 900°C в течение 8 ч. Образец характеризуется высоким значением $T_N \geq 310$ К и узкими линиями ЯКР. Так, в зависимости от вида квантового перехода ширина линии на полувысоте составляла 30—40 кГц. Для сравнения укажем, например, что в работах [7, 9] использовались образцы с $\Delta\nu_{0,5} \approx 150 \div 200$ кГц. Малые ширины линий свидетельствуют о высокой степени стехиометрии исследованного образца. Образец был сплавлен с парафином для предотвращения деградации и уменьшения влияния пор на однородность давления. Применялись стальная камера типа «цилиндр—поршень» и криостаты, описанные в [16]. Величина давления при 77 и 300 К измерялась манганиновым манометром по методике [17], а при 4.2 К — ЯМР манометром [18] на основе FeBO_3 .

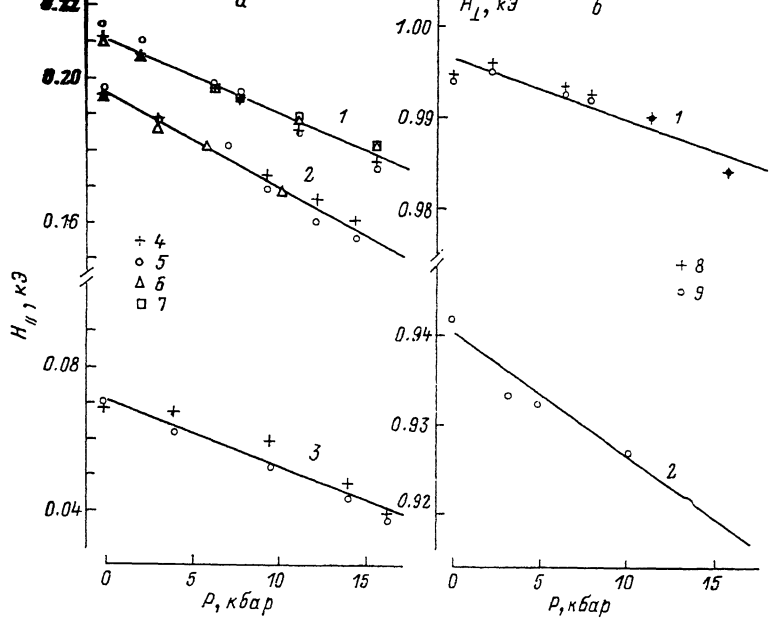


Рис. 1. Барические зависимости компонент H_{\parallel} (а), H_{\perp} (б) локального магнитного поля на ядрах ^{139}La в La_2CuO_4 . $T=4.2$ (1), 77 (2), 295 К (3).

Линейные комбинации частот (1), использованные при обработке данных: $(\nu_8 - \nu_7)$ (4), $(\nu_6 - \nu_5)$ (5), $(\nu_4 - \nu_3)$ (6), $(\nu_2 - \nu_1)$ (7), $(\nu_4 - \nu_2)$ (8), $(\nu_3 - \nu_1)$ (9). Сплошные методы линий — аппроксимация по методу наименьших квадратов.

4. На рис. 1 представлены барические зависимости компонент локального магнитного поля на ядре $H_{\parallel}(P)$ и $H_{\perp}(P)$ для трех фиксированных температур. К сожалению, вследствие слабости сигналов на частотах $\nu_1 \div \nu_4$ нам не удалось получить зависимость $H_{\perp}(P)$ при 295 К. Приведенные данные показывают, что различные линейные комбинации (1), использованные при отработке экспериментальных значений частот $\nu_1(P) \div \nu_9(P)$, приводят практически к совпадающим результатам. Следовательно, зависимости (1) в данном случае описывают эксперимент вполне адекватно.⁴

На рис. 1 сплошными линиями представлены результаты аппроксимации по методу наименьших квадратов барических зависимостей линейной функцией

$$H_{\parallel, \perp}(P, T) = H_{\parallel, \perp}(0, T) + (\partial H_{\parallel, \perp}/\partial P)_T P, \quad (3)$$

полученные значения коэффициентов приведены в таблице. Видно, что компоненты H_{\parallel} и H_{\perp} , а следовательно, и $H_{\text{лок}} = \sqrt{H_{\parallel}^2 + H_{\perp}^2}$ уменьшаются с ростом давления. Возможные механизмы падения величины $H_{\text{лок}}$ при

⁴ Экспериментальные зависимости $\nu_1(P) \div \nu_8(P)$, $\nu_Q(P)$ и $\eta(P)$ будут приведены в работе, посвященной электрическим СТВ в La_2CuO_4 под давлением.

T, K	$H_{\parallel}(0)$	$H_{\perp}(0)$	$H_{\text{лок}}(0)$	$\frac{1}{H_{\parallel}} \frac{\partial H_{\parallel}}{\partial P}$	$\frac{1}{H_{\perp}} \frac{\partial H_{\perp}}{\partial P}$	$\frac{1}{H_{\text{лок}}} \frac{\partial H_{\text{лок}}}{\partial P}$
	кЭ		$10^{-3} \text{ кбар}^{-1}$			
4.2 77 295	0.211	0.996	1.018	-9.78	-0.66	-1.08
	0.196	0.940	0.960	-13.3	-1.47	-1.88
	0.072	-	-	-26.1	-	-

всестороннем сжатии La_2CuO_4 будут обсуждены ниже. Однако важен тот факт, что относительная скорость падения H_{\parallel} с давлением на порядок величины превышает скорость уменьшения H_{\perp} . Это однозначно свидетельствует об уменьшении угла $90^{\circ}-\theta=\arctg(H_{\parallel}/H_{\perp})\simeq H_{\parallel}/H_{\perp}$, т. е. об уменьшении под давлением орторомбических искажений в фазе $Cmca$. Оценим величину критического давления P_k кристаллографического превращения $Cmca \leftrightarrow I4/mmm$, линейно экстраполируя экспериментальные данные к значению $(90^{\circ}-\theta)=0$ ($H_{\parallel}=0$), характерному для тетрагональной структуры. Для температур 4.2, 77 и 295 К получаем критические давления 102, 75 и 38 кбар соответственно. Эти данные совместно со значением [2] критической температуры $T_k\simeq 540$ К для деоксидированного кристалла при нормальном давлении позволяют восстановить (P, T) -фазовую

диаграмму La_2CuO_4 . На рис. 2 изображена полученная диаграмма совместно со структурными данными других авторов.

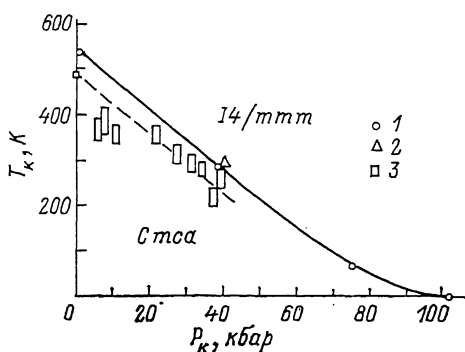


Рис. 2. (P, T) -фазовая диаграмма La_2CuO_4 , отражающая кристаллографический фазовый переход $Cmca \leftrightarrow I4/mmm$.

1 — зависимость T_k от P на основании настоящих ЯКР-исследований, 2 — нейтронографические данные [5], 3 — рентгеноструктурные данные [3].

Отметим, что давление стабилизирует тетрагональную фазу $I4/mmm$, причем при $P \geq 100$ кбар орторомбическая фаза подавлена при любой температуре. По ЯКР-данным, приведенным на рис. 2, начальный наклон зависимости $T_k(P)$ составляет $-6.5 \text{ K} \cdot \text{kбар}^{-1}$. Этот наклон точно совпадает со значением, полученным в работе [3] в результате рентгеноструктурных исследований практически без экстраполяции (штриховая линия), хотя линия фазовых переходов, по данным [3], лежит, как видно, несколько ниже. Такое поведение может быть обусловлено отличием кислородных индексов изученных образцов.

Следует также отметить, что линейная экстраполяция данных, произведенная в настоящей работе, в принципе должна приводить к слегка завышенным значениям P_k . Действительно, если фазовый переход $I4/mmm \leftrightarrow Cmca$ является переходом второго рода [19], то вблизи P_k (критическая область) наклон $H_{\parallel}(P)$ должен возрастать и переход осуществится раньше, чем это предсказывает линейная экстраполяция. Другой источник взаимной несогласованности данных, полученных разными методами, заключается в выборе параметра порядка. Стого говоря, в формировании параметра порядка La_2CuO_4 принимают участие смещения всех ионов, кроме Cu^{2+} [20]. Представленные на рис. 2 рентгеноструктурные данные [3] отражают поведение параметра порядка, в качестве которого выбран на-

клон большой оси кислородного октаэдра по отношению к оси b , совпадающей с тетрагональной осью фазы $I4/mmm$. В то же время точка на рис. 2 $P_k=40$ кбар при комнатной температуре, полученная в [5] нейтронографически, отражает поведение параметра $2(c-a)/(c+a)$, т. е. орторомбической деформации исходной тетрагональной ячейки, которая квадратична по параметру порядка [20]. Эта точка в работе [5] также получена линейной экстраполяцией от давлений ~ 9 кбар и прекрасно совпадает с нашими данными для комнатной температуры. В настоящей работе параметром порядка является угол $(90^\circ - \theta) \approx H_1/H_\perp$, который сложным образом связан с кристаллографическимиискажениями. Тем не менее сравнение данных ЯКР с данными структурных исследований [3, 5] в области температур $T \geq 300$ К показывает, что резонансная методика обладает удовлетворительной точностью. Это позволяет считать, что полученные нами впервые низкотемпературные данные также являются достаточно надежными. В пользу надежности этих данных свидетельствуют и хорошие гидростатические условия ЯКР-эксперимента, в то время как рентгеноструктурные исследования [3] выполнены в квазигидростатических условиях.

На рис. 1 не представлены результаты работы [4], в которой исследовалась структура La_2CuO_4 при квазигидростатических давлениях до 150 кбар. Полученные в [4] строго линейные зависимости параметров решетки вплоть до 150 кбар свидетельствуют о правомерности линейной экстраполяции данных от умеренно высоких давлений. Однако в работе [4] при комнатной температуре из условия исчезновения орторомбических деформаций получается очень высокое значение критического давления ~ 120 кбар. Это значение P_k не согласуется ни с одним из известных исследований, что, по мнению авторов работы [6], является следствием немонохроматичности использованного в [4] синхротронного источника.

5. Оценим на основании измеренных значений $(1/H_{\text{лок}})(\partial H_{\text{лок}}/\partial P)$ скорость изменения магнитного момента иона меди μ_{Cu} с давлением. Ранее в работе [6] методом дифракций нейtronов для $(1/\mu_{\text{Cu}})(\partial \mu_{\text{Cu}}/\partial P)$ было получено значение $-8 \cdot 10^{-3}$ кбар $^{-1}$, которое относится к диапазону температур 140–180 К, причем температура Нееля исследованного в [6] образца составляла ~ 220 К. Очевидно, что данные работы [6] являются высокотемпературными, поскольку температура измерения близка к значению T_N . В такой ситуации полученный результат может отражать не столько изменение ковалентности (делокализации спиновой плотности) при сжатии, проявляющееся и при 0 К, сколько изменение среднего термодинамического значения момента $\langle \mu_{\text{Cu}} \rangle$ вследствие изменения T_N под давлением. Действительно, если причиной трехмерного магнитного упорядочения в слоистом квазидвумерном антиферромагнетике является, например, межплоскостный обмен, то $T_N \sim M^2 J / \ln(J/J_\perp)$ и изменение межплоскостного обменного интеграла J_\perp и особенно внутриплоскостного J под давлением будет влиять на T_N и, следовательно, на значение $\langle \mu_{\text{Cu}} \rangle$ при фиксированной высокой температуре. Только низкотемпературные исследования, проведенные при $T \ll T_N$, могут дать информацию о поведении $\mu_{\text{Cu}}(P)$ в чистом виде. В этом смысле полученные нами при $T=4.2$ и 77 К значения $(1/H_{\text{лок}})(\partial H_{\text{лок}}/\partial P)$ являются весьма важными, хотя они и не столь прямые, как нейтронографические данные работы [6].

Локальное поле на ядрах ^{139}La в La_2CuO_4 является суммой дипольного поля $H_{\text{дип}}$, индуцированного окружающими ионами Cu^{2+} , и косвенного сверхтонкого поля $H_{\text{ектв}}$, обусловленного переносом спиновой плотности в цепочках $\text{Cu}^{2+}-\text{O}^{2-}-\text{La}^{3+}$.

$$H_{\text{лок}} = H_{\text{дип}} + H_{\text{ектв}}. \quad (4)$$

Дипольное поле может быть с достаточной точностью рассчитано непосредственным суммированием в приближении точечных магнитных моментов ионов Cu^{2+} . При $\mu_{\text{Cu}} \parallel c$ [15] и величине $\mu_{\text{Cu}} \approx 0.6 \mu_B$ (такой момент характерен для деоксидированных кристаллов с высоким значением T_N)

≈ 300 К) вычисление дипольных решеточных сумм в сфере $r \leq 4a$ приводит к величине $H_{\text{дип}} = 550$ Э. При низких температурах в фазе Стса $H_{\text{дип}}$ составляет с осью c угол $\sim 2.4^\circ$. Близкие значения (555 Э и 2.2°) получены в работе [10] суммированием в сфере $r \leq 40$ Å. В то же время косвенное сверхтонкое поле должно по направлению совпадать с направлением спина иона Cu^{2+} , т. е. с направлением μ_{Cu} при замороженном орбитальном вкладе (ось c). Столь малый угол между $H_{\text{дип}}$ и $H_{\text{кств}}$ позволяет с большой точностью считать, что

$$H_{\text{лок}} = H_{\text{дип}} + H_{\text{кств}}, \quad (5)$$

причем дипольный вклад в $H_{\text{лок}}$ составляет 55 %.

При постоянстве величины μ_{Cu} сжатие кристалла должно приводить к росту $H_{\text{лок}}$ как вследствие роста $H_{\text{дип}}$ ввиду уменьшения межатомных расстояний, так и вследствие увеличения $H_{\text{кств}}$ в результате увеличения перекрывания волновых функций анионов и катионов. Такое нормальное поведение $H_{\text{кств}}$ наблюдается, например, в оксидах железа для связей $\text{Fe}^{3+}\uparrow - \text{O}^{2-} - \text{Fe}^{3+}\downarrow$ [21].

Поэтому наблюдаемое уменьшение с давлением величины $H_{\text{лок}}$ несомненно обусловлено падением величины момента μ_{Cu} главным образом вследствие усиления переноса p -электронов O^{2-} в незанятую $3d$ -орбиталь ионов Cu^{2+} [21]. Принимая $H_{\text{кств}} = a_0 \mu_{\text{Cu}}$, $H_{\text{дип}} \sim \mu_{\text{Cu}}$, полагая сжатие La_2CuO_4 конформным,⁵ а также пренебрегая изменением константы косвенной сверхтонкой связи a_0 от давления по сравнению с изменением μ_{Cu} , легко получить оценочное соотношение

$$\frac{1}{H_{\text{лок}}} \frac{\partial H_{\text{лок}}}{\partial P} = \frac{1}{\mu_{\text{Cu}}} \frac{\partial \mu_{\text{Cu}}}{\partial P} + \frac{H_{\text{дип}}}{H_{\text{лок}}} x, \quad (6)$$

где x — объемная сжимаемость. Принимая для x значение 7.4×10^{-4} кбар⁻¹ [5], мы можем оценить, что при 4.2 К ($1/\mu_{\text{Cu}}$) $(\partial \mu_{\text{Cu}} / \partial P) \approx -1.5 \cdot 10^{-3}$ кбар⁻¹, а при 77 К — $2.3 \cdot 10^{-3}$ кбар⁻¹.

Таким образом, по данным ЯКР ¹³⁹La (в принятом приближении), скорость уменьшения с давлением величины магнитного момента иона Cu^{2+} при низких температурах приблизительно в 5 раз меньше, чем это изменено методом магнитной нейтронографии в работе [6] при 140—180 К. Полученные низкотемпературные результаты могут оказаться весьма полезными для проверки точности микроскопических расчетов антиферромагнитного основного состояния La_2CuO_4 .

Отмеченное выше значительное расхождение высокотемпературных данных работы [6] и настоящих низкотемпературных данных свидетельствует об уменьшении значения T_N при сжатии. Можно указать две главные причины изменения T_N La_2CuO_4 под давлением. Во-первых, это обсуждавшееся выше изменение обменных интегралов J , J_\perp , которое при приближенном постоянстве углов связи $\text{Cu}^{2+}\uparrow - \text{O}^{2-} - \text{Cu}^{2+}\downarrow$ должно приводить к росту T_N . Во-вторых, это уменьшение степени орторомбических искажений исходной тетрагональной структуры $I4/mmm$. В приближении среднего поля молекулярное поле от ближайших соседей в тетрагональной фазе полностью погашается [22], так что подавление орторомбичности давлением должно приводить к падению T_N . Уменьшение T_N с давлением было экспериментально обнаружено в работе [23] по сдвигу максимума восприимчивости при T_N ($\partial T_N / \partial P = -0.5$ К/кбар) и по сдвигу минимума производной $\partial R / \partial T$ электросопротивления ($\partial T_N / \partial P = -1$ К/кбар). Эти данные качественно подтверждены также в исследовании [24]. Однако

⁵ Анизотропия сжимаемости La_2CuO_4 достаточно надежно установлена в работе [5]. Однако немонотонное изменение с давлением координат иона La^{3+} в диапазоне давлений 0—9 кбар [5] является проблематичным, что ставит под сомнение необходимость проведения точных расчетов $H_{\text{дип}}$ в функции давления с учетом анизотропии сжимаемости.

в работе [6] более прямые нейтронографические исследования наглядно демонстрируют рост T_N с давлением со скоростью +1.8 К/кбар.

Нам представляется, что для разрешения накопившихся противоречий и определения истинного знака $\partial T_N / \partial P$ в La_2CuO_4 должны быть выполнены исследования ЯКР ^{139}La под давлением в окрестности T_N . Результаты работы [25] показывают, что магнитный фазовый переход в La_2CuO_4 является переходом первого рода, причем вблизи T_N реализуются гетерогенное состояние вследствие существования в достаточно широком диапазоне температур антиферромагнитной и парамагнитной фаз. Наличие гетерогенной области вблизи T_N отмечено также в мессбауэровском исследовании [26] La_2CuO_4 , допированного ^{57}Fe . По этой причине методики измерения T_N , основанные на регистрации температурных аномалий таких интегральных макроскопических характеристик, как электропроводность и магнитная восприимчивость, могут давать искаженные результаты вследствие изменения под давлением ширины гетерогенной области. В то же время микроскопическая методика ЯКР ^{139}La позволяет получать информацию о значении T_N , основываясь на сигналах только антиферромагнитной фазы [25].

Авторы признательны А. П. Леванюку и А. В. Залесскому за обсуждение результатов исследований, А. А. Бушу за предоставленные образцы, а также А. Н. Молчанову за помощь в измерениях.

Список литературы

- [1] Kumagai K., Aoki H., Watanabe I. et al. // J. Phys. Soc. Jap. 1988. V. 57. N 4. P. 1155—1158.
- [2] Moret R., Pouget J. P., Noguera C., Collin G. // Physica C. 1988. V. 153—155. P. 968—969.
- [3] Kim H. J., Moret R. // Physica C. 1988. V. 156. P. 363—368.
- [4] Akhtar M. J., Cutlon C. R. A., Clark S. M., Temmerman W. M. // J. Phys. C: Solid State Phys. 1988. V. 21. P. L917—L920.
- [5] Howard C. J., Nelmes R. J. // Sol. St. Commun. 1989. V. 69. N 3. P. 261—264.
- [6] Katano S., Mori N., Takahashi H., Takei H // J. Phys. Soc. Jap. 1989. V. 58. N 11. P. 3890—3893.
- [7] Kitaoka Y., Hiramatsu S., Ishida K. et al. // J. Phys. Soc. Jap. 1987. V. 56. N 9. P. 3024—3027.
- [8] Lütgemeier H., Pieper M. W. // Solid State Commun. 1987. V. 64. N 2. P. 267—270.
- [9] Furo I., Janossy A. // Jpn. J. Appl. Phys. 1987. V. 26. N 8. P. L1307—L1309.
- [10] Nishihara H., Yasuoka H., Shimizu T. et al. // J. Phys. Soc. Jap. 1987. V. 56. N 12. P. 4559—4570.
- [11] Айбиндер Н. Е. // ФТТ. 1989. Т. 31. № 9. С. 240—242.
- [12] Дорошев В. Д., Савоста М. М. // Письма в ЖЭТФ. 1989. Т. 50. № 7. С. 328—330.
- [13] Wang T. C. // Phys. Rev. 1955. V. 99. N 2. P. 566—577.
- [14] Гречишник В. С., Ядерные квадрупольные взаимодействия в твердых телах. М.: Наука, 1973. 263 с.
- [15] Freltoft T., Fisher J. E., Shirane G. et al. // Phys. Rev. B. 1987. V. 36. N 1. P. 826—828.
- [16] Бородин В. А., Дорошев В. Д., Иванов С. Ф. и др. // Препринт (Донецкий ФТИ АН УССР). 1989. № 89-42.
- [17] Томпсон Дж. // Приборы для научных исследований. 1984. № 2. С. 90—94.
- [18] Дорошев В. Д., Ковтун Н. М., Молчанов А. Н., Прокопов А. Д. // Деп. в ВИНИТИ. 1986. № 2915-В86.
- [19] Böni P., Axe J. D., Shirane G. et al. // Physica B. 1989. V. 156. P. 902—905.
- [20] Красинькова М. В., Мойжес Б. Л. // ФТТ. 1989. Т. 32. № 1. С. 318—321.
- [21] Sawatzky G. A., Boekema C., van der Woude F. // Proc Conf. on Mössbauer Spectrometry. Dresden, 1971. V. 1. P. 238—252.
- [22] Endoh Y. // Phase Transitions. 1989. V. 15. P. 223—240.
- [23] Barbara B., Beille J., Draperi A. et al. // J. de Physique. 1988. Colloq. C8. Suppl. N 12. Tome 49. P. C8-2139—C8-2140.
- [24] Aronson M. C., Cheong S.-W., Garzon F. H. et al. // Phys. Rev. B. 1989. V. 39. N 16. P. 11445—11448.
- [25] Бородин В. А., Дорошев В. Д., Иванченко Ю. М., Савоста М. М., Филиппов А. Э. // Письма в ЖЭТФ. 1990. Т. 52. № 9. С. 1073—1078.
- [26] Tang H., Xiao G., Singh A. et al. // J. Appl. Phys. V. 67. N 9. P. 4518—4520.